



UNIVERSIDADE FEDERAL DO CEARÁ
CAMPUS QUIXADÁ
BACHARELADO EM SISTEMAS DE INFORMAÇÃO

LUCAS HENRIQUE DE SOUSA CÂNDIDO

UM ALGORITMO BIT-PARALELO PARA O PROBLEMA DA CLIQUE MÁXIMA

QUIXADÁ – CEARÁ

2016

LUCAS HENRIQUE DE SOUSA CÂNDIDO

UM ALGORITMO BIT-PARALELO PARA O PROBLEMA DA CLIQUE MÁXIMA

Monografia apresentada no curso de Sistemas de Informação da Universidade Federal do Ceará, como requisito parcial à obtenção do título de bacharel em Sistemas de Informação. Área de concentração: Computação.

Orientador: Prof. Dr. Wladimir Araújo Tavares

QUIXADÁ – CEARÁ

2016

Dados Internacionais de Catalogação na Publicação
Universidade Federal do Ceará
Biblioteca Universitária
Gerada automaticamente pelo módulo Catalog, mediante os dados fornecidos pelo(a) autor(a)

- C223a Cândia, Lucas Henrique de Sousa.
Um algoritmo bit-paralelo para o problema da clique máxima / Lucas Henrique de Sousa Cândia. –
2016.
45 f. : il.
- Trabalho de Conclusão de Curso (graduação) – Universidade Federal do Ceará, Campus de Quixadá,
Curso de Sistemas de Informação, Quixadá, 2016.
Orientação: Prof. Dr. Wladimir Araújo Tavares.
1. Problema da clique máxima. 2. Coloração de grafos. 3. Branch-and-bound. 4. NP-difícil. I. Título.
CDD 005
-

LUCAS HENRIQUE DE SOUSA CÂNDIDO

UM ALGORITMO BIT-PARALELO PARA O PROBLEMA DA CLIQUE MÁXIMA

Monografia apresentada no curso de Sistemas de Informação da Universidade Federal do Ceará, como requisito parcial à obtenção do título de bacharel em Sistemas de Informação. Área de concentração: Computação.

Aprovada em:

BANCA EXAMINADORA

Prof. Dr. Wladimir Araújo Tavares (Orientador)
Campus Quixadá
Universidade Federal do Ceará – UFC

Prof. Dr. Fábio Carlos Sousa Dias
Campus Quixadá
Universidade Federal do Ceará - UFC

Prof. Me. Paulo Henrique Macedo de Araújo
Campus Quixadá
Universidade Federal do Ceará - UFC

Aos meus pais, família, professores e amigos.

AGRADECIMENTOS

À CAPES, pelo apoio financeiro com a manutenção da bolsa de auxílio.

Ao Prof. Dr. Wladimir Araújo Tavares, pela paciência e excelente orientação.

Aos professores participantes da banca examinadora Fábio Carlos Sousa Dias e Paulo Henrique Macedo de Araújo pelo tempo, pelas valiosas colaborações e sugestões.

Aos meus amigos André Davys e Letícia Saraiva por terem cedido seus notebooks.

A Marisa Silva por passar noites conversando comigo quando pensava em não conseguir e por ter me ajudado a corrigir meu tcc.

Aos meus colegas de turma pelo apoio, pelas reflexões, críticas e sugestões recebidas.

Aos meus pais por acreditarem na minha capacidade.

“Só sei que nada sei”

(Sócrates)

RESUMO

Nesta monografia, apresentamos um algoritmo de branch-and-bound que encontra uma clique máxima em um grafo. O algoritmo combina técnicas já empregadas com sucesso, além de utilizar uma nova proposta de heurística de coloração fracionária, proposta pelos autores, como procedimento de limite superior e estratégia de ramificação, fazendo uso de operações bit-paralelas. Experimentos computacionais mostram que a coloração proposta apresenta uma grande redução na árvore de busca e um bom desempenho em instâncias de alta densidade.

Palavras-chave: Problema da clique máxima. Coloração de grafos. Branch-and-bound. NP-difícil.

ABSTRACT

In this paper we present a branch-and-bound algorithm to find the maximum clique in a graph. The algorithm combines successfully used techniques and also makes use of a new heuristic proposal for fractional coloring create by the authors, as a procedure of upper bound and branching strategy, making use of bit-parallel operations. Computing experiments show that the coloring proposal presents a large reduction in the search tree and a good performance in high density instances.

Keywords: Maximum Clique Problem. Coloring. Branch-And-Bound. NP-hard

LISTA DE FIGURAS

Figura 1 – Ilustração da relação entre a clique máxima, conjunto independente máximo e cobertura mínima de vértices. Dado o grafo G com $V = \{A, B, C, D, E, F\}$ (a esquerda) e o seu complemento \bar{G} (no meio e a direita), o conjunto de vértices $\{C, D, E, F\}$ é a clique máxima em G e é um conjunto independente máximo em \bar{G} , enquanto $\{A, B\} = V \setminus \{C, D, E, F\}$ é uma cobertura mínima de vértices em \bar{G}	18
Figura 2 – Representação gráfica de B	20
Figura 3 – Grafo usado no Exemplo 1	26
Figura 4 – Grafo usado no Exemplo 2	28
Figura 5 – Grafo usado no Exemplo 3	32
Figura 6 – Representação gráfica de bit e V	34

LISTA DE TABELAS

Tabela 1	– Tabela com os valores $UB[v]$ para cada vértice v	26
Tabela 2	– Tabela com os valores $UB[v]$ para a ordem δ	26
Tabela 3	– Tabela com os valores $UB[v]$ para cada vértice v	32
Tabela 4	– Resultados em grafos aleatórios	39
Tabela 5	– Resultados em grafos DIMACS	40

LISTA DE ALGORITMOS

1	Representação de um vetor de bits em C	19
2	Algoritmo branch-and-bound simples para o PCM	21
3	Estrutura básica do algoritmo branch-and-bound	23
4	Procedimento da coloração inteira	25
5	Procedimento da coloração fracionária	27
6	Passo de re-coloração	30
7	Procedimento de re-coloração	31
8	Algoritmo branch-and-bound para o PCM	33
9	Declaração de um Grafo usando vetor de bits	34
10	UNIÃO	35
11	INTERSECÇÃO	35
12	SUBTRAÇÃO	35
13	Procedimento da heurística de coloração fracionária modificada	37

LISTA DE ABREVIATURAS E SIGLAS

PCM	Problema da Clique Máxima
HCI	Heurística de Coloração Inteira
HCF	Heurística de Coloração Fracionária

LISTA DE SÍMBOLOS

G	Grafo simples unidirecional, onde $G = (V, E)$
V	Conjunto de vértices de um grafo
E	Conjunto de arestas de um grafo
$\Gamma(v)$	Conjunto de vértices, em que $\Gamma(v) = \{u \in V \mid (u, v) \in E\}$, ou seja, a vizinhança de v
$\omega(G)$	Tamanho da clique máxima no grafo G
$G[Q]$	Seja Q um conjunto de vértices, então $G(Q)$ representa o subgrafo de G , em que $G(Q) = (Q, E \cap Q \times Q)$

SUMÁRIO

1	INTRODUÇÃO	14
2	TRABALHOS RELACIONADOS	16
3	FUNDAMENTAÇÃO TEÓRICA	18
3.1	Problema	18
3.2	Bit Paralelismo	19
3.3	Algoritmos Branch-and-Bound	21
3.4	Limite Superior	23
3.4.1	<i>Coloração Inteira</i>	24
3.4.2	<i>Coloração Fracionária</i>	27
3.4.3	<i>Re-Coloração</i>	29
4	ALGORITMOS DESENVOLVIDOS	33
4.1	Algoritmos BBMC, BBMCR e BBMCF	33
4.2	Utilizar Estratégia Bit-Paralela	33
4.3	Heurística de Coloração Fracionária	35
5	RESULTADOS COMPUTACIONAIS	38
6	CONCLUSÕES E TRABALHOS FUTUROS	43
	REFERÊNCIAS	44

1 INTRODUÇÃO

Uma clique é um subgrafo em que todos os pares de vértices são adjacentes entre si. O problema da clique máxima consiste em determinar uma clique com a máxima cardinalidade. Encontrar uma clique máxima é um problema NP-difícil, sendo assim, é muito complexo se obter eficientemente uma solução (GARY; JOHNSON, 1979; KARP, 1972). Além disso, o problema da clique máxima é inaproximável para qualquer fator $O(n^{1-\varepsilon})$ para qualquer $\varepsilon > 0$, a menos que $P = NP$ (HÅSTAD, 1996). Encontrar a clique máxima em um grafo é um dos problemas NP-difícil mais importantes na matemática discreta e no campo teórico da ciência computação, e tem sido estudado por vários pesquisadores (TOMITA; SEKI, 2003).

O problema da clique máxima (PCM) possui muitas aplicações práticas em diversas áreas. Wu e Hao (2015), Balas e Yu (1986) e Bomze et al. (1999) apresentam algumas delas, que são: bioinformática e quimioinformática (MALOD-DOGNIN; ANDONOV; YANEV, 2010; RAVETTI; MOSCATO, 2008), teoria da decodificação (ETZION; OSTERGARD, 1998), economia (BOGINSKI; BUTENKO; PARDALOS, 2006), problemas de alocação (CARTER; LAPORTE; LEE, 1996; WEIDE; RYAN; EHRGOTT, 2010), redes financeiras (BOGINSKI; BUTENKO; PARDALOS, 2006), localização (BROTCORNE; LAPORTE; SEMET, 2002), agendamento (DORNDORF; JAEHN; PESCH, 2008), análise de transmissão de sinal (CHEN; ZHAI; FANG, 2010), análise de redes sociais (BALASUNDARAM; BUTENKO; HICKS, 2011; PATTILLO; YOUSSEF; BUTENKO, 2012), redes wireless e telecomunicações (BALASUNDARAM; BUTENKO, 2006; JAIN et al., 2005), visão computacional e reconhecimento de padrões (BOMZE et al., 1999), design experimental e recuperação de informações (BALAS; YU, 1986). Por tal aplicabilidade se torna necessário o desenvolvimento de algoritmos exatos, que buscam a solução ótima, para estes problemas com tempo de execução satisfatório.

Dada a sua importância teórica e relevância prática, um esforço considerável tem sido dedicado ao polítopo e desigualdades válidas associada ao problema da clique máxima em programação discreta. Por um lado, os métodos exatos mais eficazes são os métodos de branch-and-bound combinatórios. Resultados de experimentos computacionais mostram que os algoritmos de branch-and-bound combinatórios superam outros algoritmos baseados em programação matemática. Tomita e Seki (2003) desenvolveram um algoritmo, chamado de MCQ, que é comparado com outros algoritmos de programação matemática (BALAS; YU, 1986; BOURJOLLY P. GILL; MERCURE, 1996).

No entanto, os métodos exatos requerem um tempo computacional proibitivo em casos gerais e muitas vezes são aplicáveis apenas em problemas de tamanhos limitados. Por outro lado, para lidar com problemas cujas soluções ótimas não podem ser encontradas dentro de um prazo razoável, vários algoritmos heurísticos e metaheurísticos foram desenvolvidos com o objetivo de fornecer soluções sub-ótimas tão boas quanto possível para problemas grandes em tempo aceitável. É claro que os métodos exatos e heurísticos constituem duas soluções complementares que podem ser aplicadas para enfrentar situações diferentes e cumprir objetivos diferentes (WU; HAO, 2015).

Nesta monografia, apresentamos uma heurística de coloração e um algoritmo branch-and-bound para o problema da clique máxima que combina, modifica e/ou aperfeiçoa alguns dos ingredientes utilizados nos algoritmos existentes, como segue:

- Uma ordenação inicial dos vértices através da reconstrução da matriz de adjacência em ordem decrescente de grau;
- Uso da coloração proposta, que é uma adaptação da heurística de coloração fracionária apresentada em Balas e Xue (1996);
- Estratégia de ramificação inspirada em Balas e Yu (1986), chamada de ramificação em largura, utilizando a adaptação da heurística de coloração fracionária;
- A utilização de vetores de bits que possibilita a redução do uso de memória e o aproveitamento do paralelismo de bits (SEGUNDO et al., 2010).

Na seção 2, são mostrados os trabalhos relacionados. Na seção 3, apresentamos a fundamentação teórica. Na seção 4, apresentamos os algoritmos desenvolvidos, onde finalmente apresentamos nossa proposta. Na seção 5, apresentamos nossos resultados. E na seção 6, apresentamos nossas conclusões e trabalhos futuros.

2 TRABALHOS RELACIONADOS

Balas e Xue (1996) propõem um algoritmo branch-and-bound que utiliza uma heurística de coloração fracionária para geração de limites superiores para a clique máxima, além disso, utilizam a coloração inteira como estratégia de ramificação. Realizando extensivos testes computacionais Balas e Xue (1996) verificaram que a substituição de procedimentos padrões de limite superior pela heurística de coloração fracionária apresenta um fator de diminuição de quase dois na árvore de busca.

No algoritmo MCQ (TOMITA; SEKI, 2003), uma heurística de coloração inteira gulosa é utilizada como procedimento de limite superior e como estratégia de ramificação.

O algoritmo proposto por Tomita et al. (2010), chamado de MCS, diferente do MCQ ainda aplica um algoritmo de re-coloração ao final de cada iteração do algoritmo de coloração inteira nos vértices que possuem limite superior maior que o tamanho da clique máxima atual. O algoritmo de re-coloração tenta aumentar o número de vértices coloridos utilizando um certo número de cores estabelecido em cada subproblema, reduzindo assim o fator de ramificação do algoritmo. Nota-se que em Tomita e Seki (2003), a utilização da coloração inteira como estratégia de ramificação diminuiu consideravelmente o fator de ramificação, este fato pode ser verificado na redução drástica do número de subproblema. Em Tomita et al. (2010), desenvolve-se uma estratégia de ramificação, baseada em uma ordem inicial fixa dos vértices, para a heurística de coloração gulosa, e no algoritmo de re-coloração, conseguindo reduzir ainda mais o fator de ramificação.

Os trabalhos anteriores apresentam métodos que reduzem o número de subproblemas enumerados durante a busca, contudo, outro fator importante a ser considerado no problema do clique máximo, são as várias operações de conjunto para encontrar a clique máximo em um grafo, estas operações se não bem implementadas podem consumir bastante tempo de processamento. Segundo et al. (2010) apresentam um algoritmo chamado de BBMC para busca da clique máximo utilizando vetores de bits. Através da implementação de vetores de bits os autores conseguiram grande redução do custo computacional. Por este motivo, utilizamos vetores de bits em nossa proposta.

Em Balas e Xue (1996), eles propõem a utilização da heurística de coloração fracionária como procedimento de limite superior. Porém, a coloração fracionária é totalmente inútil para a definição da estratégia de ramificação. Esse problema é superado definindo a estratégia de ramificação usando a coloração inteira inicial. Neste trabalho, fazemos as adaptações necessárias

para que a coloração fracionária possa ser utilizada como estratégia de ramificação.

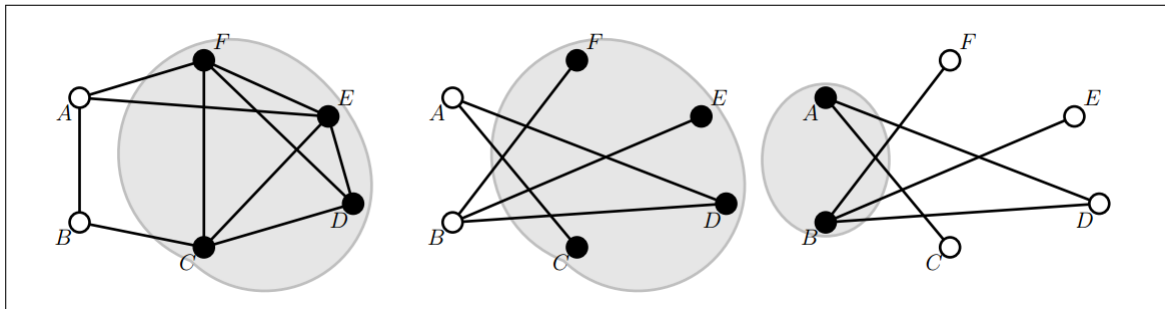
Esta monografia propõe um algoritmo que combina a coloração inteira com uma adaptação da coloração fracionária, porém a heurística de coloração fracionária será utilizada aqui para definição do conjunto de ramificação, assim como a coloração inteira é aplicada nos algoritmos MCQ e MCS. Além de disso, a solução será implementada utilizando o bit paralelismo. Comparamos os algoritmos bit-paralelos Segundo, Rodríguez-Losada e Jiménez (2011) e Segundo et al. (2013) que utilizam a coloração inteira e a recoloração, respectivamente, com o algoritmo proposto nesta monografia. Recorremos a estes algoritmos, no lugar do MCQ e MCR, por serem algoritmos bit-paralelos, assim a comparação entre eles se torna mais justa.

3 FUNDAMENTAÇÃO TEÓRICA

3.1 Problema

O problema da clique máxima consiste em determinar uma clique (isto é, um subgrafo completo) com a máxima carnalidade. Este problema é notável por sua capacidade de modelar outros problemas combinatórios e muitas aplicações do mundo real. É um dos problemas NP-difícil mais estudados, existem muitos algoritmos presentes na literatura e vários novos métodos sendo continuamente propostos (TOMITA; SEKI, 2003).

Figura 1 – Ilustração da relação entre a clique máxima, conjunto independente máximo e cobertura mínima de vértices. Dado o grafo G com $V = \{A, B, C, D, E, F\}$ (a esquerda) e o seu complemento \bar{G} (no meio e a direita), o conjunto de vértices $\{C, D, E, F\}$ é a clique máxima em G e é um conjunto independente máximo em \bar{G} , enquanto $\{A, B\} = V \setminus \{C, D, E, F\}$ é uma cobertura mínima de vértices em \bar{G} .



Fonte: Wu e Hao (2015)

O PCM é estritamente equivalente a dois outros problemas bem conhecidos de otimização combinatória: o problema do conjunto independente máximo (PCIM) e o problema de cobertura mínima de vértices (PCMV). Dado $G = (V, E)$, um conjunto independente I de G é um subconjunto de V tal que cada dois vértices de I não são conectados por uma aresta, isto é, $\forall u, v \in I, (u, v) \notin E$. O PCI consiste em determinar o conjunto independente de maior cardinalidade. Uma cobertura de vértice V' de G é um subconjunto de V , tal que toda aresta $(u, v) \in E$ tem pelos menos um ponto final em V' . O PCMV consiste em encontrar a cobertura de vértice com a menor cardinalidade (WU; HAO, 2015).

O complemento do grafo G é representado por $\bar{G} = (V, \bar{E})$, onde o conjunto $\bar{E} = \{(u, v) \mid (u, v) \notin E\}$. Seja $W \subset V$, o subgrafo induzido por W em G , então $G[W] = (W, (W \times W) \cap E)$. Para qualquer $W \subset V$, Balas e Yu (1986) afirmam que as três definições são equivalentes

e facilmente verificáveis:

1. Se W é máximo clique em G .
2. Então, W é um conjunto independente máximo em \overline{G} .
3. E $V \setminus W$ é uma cobertura de vértices mínima em \overline{G} .

Desse modo, os três problemas a seguir são equivalentes

1. Buscar a clique máximo em G ,
2. Buscar o conjunto independente máximo em \overline{G} e
3. Buscar a cobertura de vértices mínima em \overline{G}

A Figura 1 apresenta a relação entre os três problemas.

Esta monografia é dedicada ao estudo e a contribuição de novos resultados para o problema da clique máxima.

3.2 Bit Paralelismo

O bit paralelismos consiste no uso de um vetor de bits (*bit field*, *bitmap*, *bitboard*, *bit string*, etc), que é uma estrutura de dados dimensional que armazena bits individuais de forma compacta, e é eficaz na exploração do bit-paralelismo em nível de hardware para realizar rapidamente as operações, bem como reduzir o espaço de armazenamento (SEGUNDO; RODRÍGUEZ-LOSADA; JIMÉNEZ, 2011).

Dado o conjunto A pertencente ao universo $\Sigma = \{0, 1, \dots, u - 1\}$, cujo o tamanho u é conhecido e não é abusivamente grande. Podemos representar o conjunto A utilizando vetor de bits, onde o bit na posição i é um 1 se $i \in A$, caso contrário, é 0. Seja a palavra de tamanho h e o vetor de bits B , de tamanho $\lceil u/h \rceil$, representando o conjunto A , temos que a palavra $B[j]$ contém os elementos $jh, jh + 1, \dots, (j + 1)h - 1$ do universo Σ .

Utilizamos a linguagem C para implementar o vetor de bits, dessa forma uma palavra é representada por um inteiro não negativo, e o tamanho da palavra é dado pelo número de bits do maior inteiro suportado pelos compiladores atuais (tipicamente 64).

O vetor de bits pode ser declarado na linguagem C como apresenta o Algoritmo 1:

Algorithm 1 Representação de um vetor de bits em C

```

1: #define INT_SIZE 64
2: typedef uint64_t word;
3: word B[(tamanho do universo de B) / INT_SIZE + 1]

```

Deste modo, a consulta de um elemento x é feita em duas dimensões. Portanto, para endereçar a palavra correspondente em B , calcula-se a função $high(x) = x/h$. Além disso, o índice do bit em $B[high(x)]$ é dado por $low(x) = x \bmod h$. Desta maneira, as operações

$$\text{setbit}(B, x) = B[high(x)] \mid (1LL \ll low(x))$$

$$\text{resetbit}(B, x) = B[high(x)] \& \sim (1LL \ll low(x))$$

$$\text{test}(B, x) = B[high(x)] \& (1LL \ll low(x))$$

representam a inserção, remoção e o teste de existência, respectivamente, do elemento x em B .

Além dessas operações, implementamos as seguintes funções:

- $\text{index}(i, j)$: retorna o valor do elemento que esta na posição i, j .
- $\text{LSB}(B, i, n)$: retorna a posição do menor elemento em $\{h*i, \dots, n-1\} \cap B$.
- $\text{COUNT}(B, n)$: retorna o número de elementos em B .

Seja $A = \{0, 1, 4, 7, 8, 12, 13, 15\}$ pertencente ao universo $\Sigma = \{0, 1, \dots, 15\}$ e um palavra de tamanho 8, então a representação B , em vetor de bits, de A possui $\lceil 16/8 \rceil = 2$ palavras. A representação gráfica de B pode ser vista na Figura 2.

Figura 2 – Representação gráfica de B

								Valores							
0	1	2	3	4	5	6	7	8	9	10	11	12	13	14	15
								Índices							
0	1	2	3	4	5	6	7	0	1	2	3	4	5	6	7
1	1	0	0	1	0	0	1	1	0	0	0	1	1	0	1
palavra 0								palavra 1							

Fonte: Elaborado pelo autor

Logo, a verificação do elemento 12 é feita seguinte maneira, primeiro é verificada em qual palavra ele se encontra, então $high(12) = 12/8 = 1$. Agora, sabemos que 12 está na palavra 1, contudo ainda não sabemos em qual bit ele está, por isso utilizamos a função low , portanto $low(12) = 12 \bmod 8 = 4$. Pronto, sabemos que 12 se encontra na palavra 1 e no bit 4, se o valor neste posição for 1, então $12 \in A$, caso contrário $12 \notin A$.

Uma das vantagens de se utilizar vetor de bits se dá ao fato dos conjuntos serem representados como agrupamentos de bits, assim operações lógicas podem ser utilizadas para simular as operações de conjuntos. Seja os conjuntos A_1 e A_2 e suas representações como vetores de bits B_1 e B_2 , podemos simular as operações de conjuntos como descritas a seguir:

$$A_1 \cap A_2 \equiv B_1 \& B_2$$

$$A_1 \cup A_2 \equiv B_1 \mid B_2$$

$$\overline{A_1} \equiv \sim B_1$$

$$A_1 \setminus A_2 \equiv B_1 \& \sim B_2$$

$$A_1 \oplus A_2 \equiv B_1 \wedge B_2$$

Portanto, operações sobre conjuntos podem ser processadas em blocos de informações (palavras, no caso desta monografia, de 64 bits) ganhando grande aumento de processamento. Segundo et al. (2007) mostram que um modelo de bits adequado pode causar uma grande redução em relação ao tamanho da palavra na CPU. O bit-paralelismo é utilizado nesta monografia, devido ao fato do PCM envolver muitas operações de conjuntos, seu uso faz com que haja um ganho de desempenho ao realizar tais operações.

3.3 Algoritmos Branch-and-Bound

Em essência, os métodos de branch-and-bound são esquemas enumerativos para resolver problemas de otimização. A utilidade do método deriva do fato de que, em geral, apenas uma pequena fração das possíveis soluções devem realmente ser enumerados, as soluções restantes devem ser eliminadas a partir da consideração de limites que estabelecem que tais soluções não podem ser ótimas (MITTEN, 1970).

O nome branch-and-bound surge a partir de duas operações básicas:

- *Branching*, consiste em dividir coleções de conjuntos soluções em subconjuntos.
- *Bounding*, consiste em estabelecer limites sobre os subconjuntos de soluções.

O procedimento branch-and-bound envolve a aplicação recursiva das operações de *branching* e *bounding*, apagando subconjuntos conhecidos que não podem conter uma solução ótima (MITTEN, 1970).

Wu e Hao (2015) apresentam um algoritmo branch-and-bound simples para o PCM, denotado de CP. O Algoritmo 2 contém o pseudocódigo do algoritmo CP.

Algorithm 2 Algoritmo branch-and-bound simples para o PCM

```

1: function CP( $C, P$ )
2:   if  $|C| > |C^*|$  then
3:      $C^* = C$ 
4:   if  $|C| + |P| \leq |C^*|$  then return
5:   for all  $p \in P$  em alguma predeterminada ordem do
6:      $P = P \setminus \{p\}$ 
7:      $C' = C \cup \{p\}$ 
8:      $P' = P \cap \Gamma(p)$ 
9:     CP( $C', P'$ )

```

Fonte: Wu e Hao (2015)

O branch-and-bound do algoritmo CP funciona da seguinte maneira: sua operação *branching* consiste em gerar todas as cliques que o vértice p pertence, verificando assim todas as cliques em busca da maior clique. Quando a clique atual mais o número de vértices que podem entrar na clique é menor ou igual a maior clique encontrada até o momento, o subproblema é podado, está é sua operação de *bounding*. Contudo, esta operação de *bounding* não é muito boa, utilizar o número de candidatos a uma clique como limite superior poda muito pouco os subproblemas.

Por este motivo, em uma tentativa de aumentar o número de subproblemas podados nós adotamos a seguinte representação: um subproblema para o PCM é descrito pela tripla (C, P, LB) , onde LB é o tamanho da maior clique encontrada até o momento, $C = \{v_1, \dots, v_d\}$ (onde d é a profundidade do subproblema) é a clique atual que está sendo construída pelo subproblema e P é o conjunto de vértices que podem entrar na clique atual, ou seja, $P \subseteq \bigcap_{i=1}^d \Gamma(v_i)$, denominado de conjunto candidato.

Se (C, P, LB) não é podado, um vértice $v \in P$ é selecionado e adicionado à clique atual. Quando o vértice v é adicionado, dizemos que o vértice v foi ramificado. Todas as cliques maximais que o vértice v pertence são enumerados implicitamente pelo subproblema $(C \cup \{v\}, P \cap \Gamma(v), LB)$, depois disso o vértice v é removido de P .

Comumente, em cada subproblema, nós particionamos o conjunto $P = U \cup R$ tal que $\omega(G[U]) \leq LB - \omega(C)$, de modo que apenas os vértices que estão em R são utilizados no processo de ramificação. Os vértices são ramificados em uma ordem definida pela estratégia de ramificação.

Seja (v_1, \dots, v_n) uma ordem dos elementos de R definida pela estratégia de ramificação. Então os seguintes subproblemas serão gerados:

$$\begin{array}{ll}
 x_{v_n} = 1 \vee & \Leftrightarrow (C \cup \{v_n\}, P \cap \Gamma(v_n), LB) \\
 (x_{v_n} = 0 \wedge x_{v_{n-1}} = 1) \vee & \Leftrightarrow (C \cup \{v_{n-1}\}, (P \setminus \{v_n\}) \cap \Gamma(v_{n-1}), LB) \\
 \vdots & \vdots \\
 (x_{v_n} = 0 \wedge x_{v_{n-1}} = 0 \wedge \dots \wedge x_{v_1} = 1) \vee & \Leftrightarrow (C \cup \{v_1\}, (P \setminus \{v_n, \dots, v_2\}) \cap \Gamma(v_1), LB)
 \end{array}$$

Esse esquema de ramificação foi estabelecido primeiramente em Balas e Yu (1986).

A estrutura básica do algoritmo branch-and-bound para o PCM incorporando o esquema de ramificação de Balas e Yu (1986) utilizado nesta monografia está apresentado no algoritmo 4.

Algorithm 3 Estrutura básica do algoritmo branch-and-bound

```

1: function CLIQUE( $C, P, LB$ )
2:   if  $|C| > LB$  then
3:      $LB = |C|$ 
4:   Particiona  $P = U \cup R$  tal que  $\omega(G[U]) \leq LB - \omega(C)$ 
5:   Seja  $(v_1, \dots, v_n)$  uma ordem dos vértices de  $R$ 
6:   for  $i \leftarrow n$  até 1 do
7:     CLIQUE( $C \cup \{v_i\}, P \cap \Gamma(v_i), LB$ )
8:      $P = P \setminus \{v_i\}$ 

```

Fonte: Elaborado pelos autores

Na seção 3.4 apresentamos algumas estratégias de ramificação utilizadas na literatura para definir a ordem dos elementos de R e na seção 4 finalmente será apresentado a nossa estratégia de ramificação.

3.4 Limite Superior

Um limite superior conhecido para o tamanho da clique máxima pode ser obtido através de uma coloração. A coloração consiste em particionar os vértices de um grafo em conjuntos independentes. Seja C_1, \dots, C_k uma coloração de $G[V]$, sabemos que $\omega(G[V]) \leq k$. Nota-se que em cada classe de cor, pode-se escolher no máximo um vértice para compor a clique, assim $\omega(G[V])$ não pode ser maior do que k .

Por este motivo, vários algoritmos branch-and-bound usam coloração por aproximação para obter um limite superior para o tamanho da clique máxima. Uma elaborada coloração pode reduzir muito o espaço de busca. Coloração, no entanto, consome tempo, e torna-se importante escolher uma troca adequada entre o tempo necessário para uma coloração aproximada e a redução do espaço de busca obtido pela mesma (TOMITA; SEKI, 2003).

Basicamente, duas maneiras diferentes são exploradas na literatura para usar a coloração nas operações de *branching* e de *bounding*. A primeira maneira colore o grafo inicial apenas uma vez antes que a rotina comece e usa essa coloração em toda a ramificação. Esta estratégia tem a principal vantagem de executar o algoritmo de coloração apenas uma vez. Entretanto, como o algoritmo da clique manipula muitos e diferentes subgrafos do grafo inicial G , a coloração para G não é necessariamente apropriada para a estimativa desses subgrafos reduzidos. A segunda estratégia aplica diferentes algoritmos de coloração para diferentes nós da árvore de busca. Esta estratégia torna possível obter limites mais próximos da clique máxima dos subgrafos. No entanto, colorir vários grafos pode ser também demorado. Com a finalidade de

economizar tempo de computação, heurística gulosa de coloração normalmente são empregadas (WU; HAO, 2015).

Esta monografia adota a segunda estratégia, pois esta aumenta o número de vértices podados e possui um melhor limite superior. Nesta seção é apresentada algumas heurísticas gulosas de coloração, utilizadas na literatura, que podem ser aplicadas como limites superiores e como estratégias de ramificação para o problema da clique máxima.

3.4.1 Coloração Inteira

Seja (C, P, LB) um subproblema do PCM. A heurística de coloração inteira consiste em atribuir para cada $v \in P$ um inteiro positivo $UB[v]$, chamado de cor, com as seguintes propriedades:

1. Se $(v, u) \in E$, então $UB[v] \neq UB[u]$, e
2. $UB[v] = 1$, ou $UB[v] = i > 1$, logo existem vértices $v_1 \in \Gamma(v), v_2 \in \Gamma(v), \dots, v_{i-1} \in \Gamma(v)$ em P com $UB[v_1] = 1, UB[v_2] = 2, \dots, UB[v_{i-1}] = i - 1$.

Consequentemente, nós sabemos que

$$\omega(P) \leq \text{Max}\{UB[v] | v \in P\}$$

e por isso, se $|C| + \text{Max}\{UB[v] | v \in P\} \leq |C_{max}|$ então, nós podemos descartar P (TOMITA; SEKI, 2003). Por este motivo, utilizamos as cores geradas pelas heurísticas de coloração como estratégia de ramificação e como *bounding*.

Algorithm 4 Procedimento da coloração inteira

```

1: function COLORAÇÃO_INTEIRA( $V, R, UB, LB$ )
2:    $U = S = V$ 
3:    $i = 1$ 
4:    $n = 0$ 
5:   while  $U \neq \emptyset$  do
6:      $C_i = \emptyset$ 
7:     while  $S \neq \emptyset$  do
8:       selecione o primeiro vértice  $u \in S$ 
9:        $C_i = C_i \cup u$ 
10:       $S = S \setminus \{u\}$ 
11:       $S = S \cap \bar{\Gamma}(u)$ 
12:      if  $i \geq LB$  then
13:         $R[n] = u$ 
14:         $UB[u] = i$ 
15:         $n = n + 1$ 
16:       $U = U \setminus C_i$ 
17:       $S = U$ 
18:       $i = i + 1$ 
19:   return  $i$ 

```

Fonte: Segundo, Rodríguez-Losada e Jiménez (2011)

O valor $UB[v]$ para $v \in V$ pode ser facilmente atribuído pelo Algoritmo 4 da seguinte maneira: selecionamos um vértice u de S e em seguida adicionamos a primeira classe de cor C_1 , assim $UB[u] = 1$, depois retiramos de S todos os vértices que são adjacentes a u e repetimos o processo até que $S = \emptyset$, logo C_1 foi preenchido e $\forall v \in C_1$ $UB[v] = 1$. Depois retiramos de U os vértices contidos em C_1 , fazemos S receber os vértices ainda não coloridos e avançamos para próxima cor, repetimos esse processo até que todos os vértices estejam coloridos.

Note que apenas os vértices que possuem cor maior que LB são armazenados em R , pois pela afirmação apresentada anteriormente podemos concluir que se $|C| + UB[v] \leq LB$, então o subproblema $(C \cup \{v\}, P \cap \Gamma(v), LB)$ não possui um clique maior do que LB . Isso permite implicitamente mais uma operação *bounding* no algoritmo branch-and-bound.

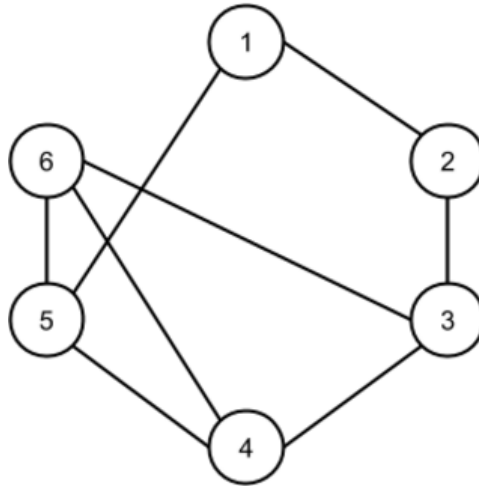
Considere o seguinte exemplo:

Seja $(3, 4, 5, 6, 1, 2)$ a ordem inicial dos vértices (decrecente por grau). A coloração obtida pela heurística de coloração inteira será:

1. $C_1 = \{3, 5\}$
2. $C_2 = \{4, 1\}$
3. $C_3 = \{6, 2\}$

Na tabela seguinte, o valor $UB[v]$ para cada vértice v é mostrado:

Figura 3 – Grafo usado no Exemplo 1



Fonte: Balas e Xue (1996)

Tabela 1 – Tabela com os valores $UB[v]$ para cada vértice v

v	3	4	5	6	1	2
$UB[v]$	1	2	1	3	2	3

Fonte: Produzido pelos autores

Observe que a ordem inicial dos vértices afeta a forma que os vértices são coloridos. Na próxima tabela, o valor de $UB[v]$ é apresentado seguindo uma ordem δ :

Tabela 2 – Tabela com os valores $UB[v]$ para a ordem δ

δ	6	5	4	3	1	2
$UB[v]$	1	2	3	2	4	3

Fonte: Produzido pelos autores

Grande parte dos algoritmos presentes na literatura adotam a ordem decrescente dos vértices por grau como ordem inicial. Pois os vértices com um grau elevado possuem muitos vértices adjacentes, assim eles geram muitos subproblemas quando ramificados, então quando a profundidade dos subproblemas é pequena os vértices de maior grau tendem a ficar no conjunto

U , ou seja, não serão ramificados nesses subproblemas. Deste modo, os vértices que possuem grau elevado tendem a serem ramificados quando a profundidade dos subproblemas é maior, onde grande partes dos vértices já terão sido descartados, diminuindo assim o número de subproblemas gerados pelos mesmos.

3.4.2 Coloração Fracionária

Uma heurística de coloração fracionária (HCF) funciona da seguinte forma: suponha que temos uma coloração (inteira) $C_1 = (S_1, \dots, S_q)$, onde cada S_i é uma classe de cor (conjunto independente). Como C_1 é uma partição de V , tipicamente algumas das classes de cor S_i não são maximais. Suponha que agora podemos aumentar essas classes de cor colorindo o maior número de vértices que pudermos com uma segunda cor entre as q classes de cor. Seja V_2 o conjunto desses vértices que agora pertencem a duas classes de cor. Então a coloração C_1 torna-se, assim, um conjunto de sobreposição em vez de subconjuntos disjuntos, mas o seu tamanho permanece inalterado.

Algorithm 5 Procedimento da coloração fracionária

```

1: function COLORAÇÃO_FRACIONARIA( $V$ )
2:    $t_1^0 = \infty, C = \emptyset, y = 0, k = 1$ 
3:   while true do
4:      $U_k = V$ 
5:     for all  $v \in U_k$ , selecione uma classe de cor  $S_i \in C$ , tal que  $S_i \cup \{v\}$  é um conjunto independente
6:        $S_i = S_i \cup \{v\}$ 
7:        $U_k = U_k \setminus \{v\}$ 
8:       aplique HCI em  $G[U_k]$ , seja  $C_k$  a coloração encontrada
9:       if  $(|C| + |C_k|)/k < t_1^{k-1}$  then
10:         $t_1^k = (|C| + |C_k|)/k$ 
11:         $C = C \cup C_k$ 
12:         $k = k + 1$ 
13:       else
14:         $C^* = C$ 
15:         $t_1^* = t_1^{k-1}$ 
16:         $y_S^* = \begin{cases} 1/(k-1) & \text{para } S \in C^* \\ 0 & \text{para } S \notin C^* \end{cases}$ 
17:        break
18:   return  $\lfloor t_1^* \rfloor$ 

```

Fonte: Balas e Xue (1996) (com adaptação)

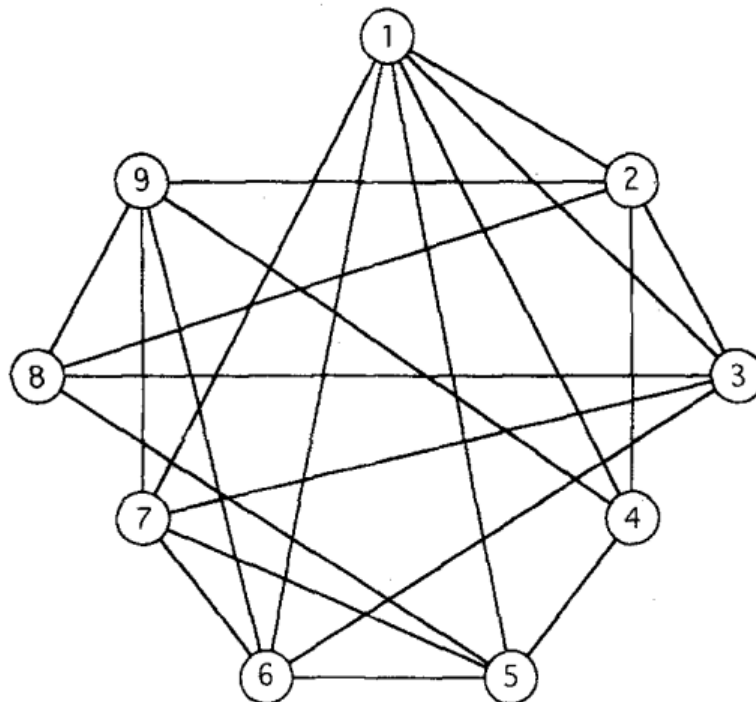
Se agora procuramos uma nova coloração C_2 dos vértices $V \setminus V_2$, em seguida, iremos ter coloridas cada vértice duas vezes, e assim, obtém-se uma coloração fracionária total de

tamanho $(|C_1| + |C_2|)/2$. No entanto, uma vez que C_2 é uma coloração com menos vértices do que $|V|$, então tipicamente $|C_2| < |C_1|$ e, por conseguinte, $(|C_1| + |C_2|)/2 < |C_1|$, isto é, a coloração fracionária é melhor do que C_1 . Este processo pode ser repetido utilizando uma terceiro, quarto, ..., k -ésima coloração, desde que melhorias possam ser obtidas (BALAS; XUE, 1996).

As cores são geradas a cada iteração pela HCI. Balas e Xue (1996) denota $C = C_1 \cup C_2 \cup \dots \cup C_k$ como a coleção de colorações geradas durante o Algoritmo 5. A cada iteração k , Balas e Xue (1996) denota U_k como o conjunto de vértices que ainda não foram coloridos durante a iteração, e t_1^k como o valor atual da coloração fracionária. A provam que $\lfloor t_1^* \rfloor$ é um limite superior para o tamanho da clique máxima em G pode ser encontrada em Balas e Xue (1996). A coloração fracionária é utilizada por Balas e Xue (1996) apenas como limite superior, como estratégia de ramificação é usada a coloração inteira realizada na primeira iteração da HCF.

Considere o seguinte grafo como exemplo:

Figura 4 – Grafo usado no Exemplo 2



Fonte: Balas e Xue (1996)

Quando $k = 1$. $U_1 = V$, como ainda não existe nenhuma coloração o HCF pula o passo 5 e executa o HCI gerando a coloração $C_1 = \{S_1, \dots, S_5\}$, com $S_1 = \{1, 9\}$, $S_2 = \{2, 5\}$, $S_3 = \{3, 4\}$, $S_4 = \{6, 8\}$, $S_5 = \{7\}$. Isto dá o seguinte limite de $t_1^1 = |C| = |C_1| = 5$ e $C = C \cup C_1$.

Quando $k = 2$. O vértice 2 pode ser adicionado ao S_5 e o vértice 4 ao S_4 , isto é, $S_4 = \{4, 6, 8\}$, $S_5 = \{2, 7\}$, $U_2 = \{1, 3, 5, 6, 7, 8, 9\}$. O ICH produz $C_2 = \{S_6, S_7, S_8, S_9\}$, com $S_6 = \{1, 8\}$, $S_7 = \{3, 5, 9\}$, $S_8 = \{6\}$, $S_9 = \{7\}$. $(|C| + |C_2|)/2 = 4.5 < 5$, logo $t_1^2 = 4.5$, $C = C \cup C_2$.

Quando $k = 3$. O vértice 2 pode ser adicionado ao S_8 , vértice 4 e 8 ao S_9 , isto é, $S_8 = \{2, 9\}$, $S_9 = \{4, 7, 8\}$. Então $U_3 = \{1, 3, 5, 6, 7, 9\}$. Assim o ICH produz $C_3 = \{S_{10}, S_{11}, S_{12}, S_{13}\}$, com $S_{10} = \{1, 9\}$, $S_{11} = \{3, 5\}$, $S_{12} = \{6\}$, $S_{13} = \{7\}$. Deste modo, $(|C| + |C_3|)/3 = 4.33 < 4.5$, então $t_1^3 = 4.33$ e $C = C \cup C_3$.

Este processo continua até o número de classes geradas exceder nosso limite, então nós paramos com:

$$C^* = \{S_1, \dots, S_{13}\}, y_S^* = \frac{1}{3} \text{ para } i = 1, \dots, 13 \text{ e } \lfloor t_1^* = 4 \rfloor.$$

A heurística de coloração fracionária é um poderoso dispositivo para o fortalecimento do limite superior obtido pela coloração inteiro (BALAS; XUE, 1996). Por este motivo, esta monografia define uma heurística de coloração baseada na HCF.

3.4.3 Re-Coloração

A re-coloração em Tomita et al. (2010) é baseado na seguinte propriedade. Para uma dada coloração admissível de um grafo, $C = \{C_1, \dots, C_n\}$, é possível reatribuir um vértice $v \in C_k$ a um conjunto independente diferente $C_j, j < k$, se as seguintes propriedades são verdadeiras:

1. Existe um vértice $w \in C_j$ tal que $\Gamma(v) \cap C_j = \{w\}$, isto é, w é o único membro da vizinhança de v em C_j ;
2. Existe uma classe de cor C_l tal que $|\Gamma(w) \cap C_l| = \emptyset$, isto é, não contém qualquer vizinho de w .

Se for esse o caso, é possível produzir uma nova coloração admissível através da troca de v e w de modo que $UB[v] = j$ e $UB[w] = l$.

Seja (C, P, LB) um subproblema do PCM. O algoritmo de re-coloração funciona da seguinte maneira:

1. Encontre uma coloração parcial C_1, C_2, \dots, C_{LB} ;
2. Para cada vértice v não colorido veja se é possível aplicar a re-coloração.;
3. Se possível, troque os vértices e retorne para o passo 2;
4. Senão, remova todos os vértices adjacentes a v e adicione v a C_i ;
5. Volte para o passo 2.

O algoritmo de re-coloração primeiro calcula um conjunto inicial de classes de cores com $i \leq LB$, cada vértice candidato adicional, a menos que seja trocado, será um vértice com cor $UB[v] > LB$ na nova coloração parcial, de modo que todos eles têm potencial para podar o espaço de busca se recolorido com êxito (SEGUNDO et al., 2013). O Algoritmo 6 e 7 descrevem o algoritmo de re-coloração em pseudocódigo.

Algorithm 6 Passo de re-coloração

```

1: function RE_COLORAÇÃO( $v, LB, C_1, \dots, C_{LB}, C_{new}$ )
2:   for all  $k_1 = 1$  até  $LB - 1$  do
3:     if  $|C_{k_1} \cap \Gamma(v)| = 1$  then
4:        $w =$  ao vértice em  $C_{k_1} \cap \Gamma(v)$ 
5:       for all  $k_2 = k_1 + 1$  até  $LB$  do
6:         if  $C_{k_1} \cap \Gamma(w) = \emptyset$  then
7:            $C_{new} = C_{new} \setminus \{v\}$ 
8:            $C_{k_1} = C_{k_1} \cup \{v\}$ 
9:            $C_{k_1} = C_{k_1} \setminus \{w\}$ 
10:           $C_{k_2} = C_{k_2} \cup \{w\}$ 
11:         return
12:     else
13:       if  $C_{k_1} \cap \Gamma(v) = \emptyset$  then
14:          $C_{new} = C_{new} \setminus \{v\}$ 
15:          $C_{k_1} = C_{k_1} \cup \{v\}$ 
16:       return

```

Fonte: Segundo et al. (2013) (com adaptação)

Algorithm 7 Procedimento de re-coloração

```

1: function COLORAÇÃO( $V, LB, R, UB$ )
2:    $U = V, S = V$ 
3:    $i = 1, n = 0$ 
4:   while  $U \neq \emptyset$  do
5:      $C_i = \emptyset$ 
6:     while  $S \neq \emptyset$  do
7:       selecione o primeiro vértice  $u \in S$ 
8:       if  $i \geq LB$  e  $|S| = 1$  then
9:         RE_COLORAÇÃO( $u, LB, C_1, \dots, C_{LB}, C_i$ )
10:      if  $u$  não foi recolorido then
11:         $C_i = C_i \cup u$ 
12:         $S = S \setminus \{u\}$ 
13:         $S = S \cap \bar{\Gamma}(u)$ 
14:        if  $i > LB$  then
15:           $R[n] = u$ 
16:           $UB[u] = i$ 
17:           $n = n + 1$ 
18:         $U = U \setminus C_i$ 
19:         $S = U$ 
20:        if  $C_k \neq \emptyset$  then
21:           $i = i + 1$ 
22:    return  $i$ 

```

Fonte: Segundo et al. (2013) (com adaptação)

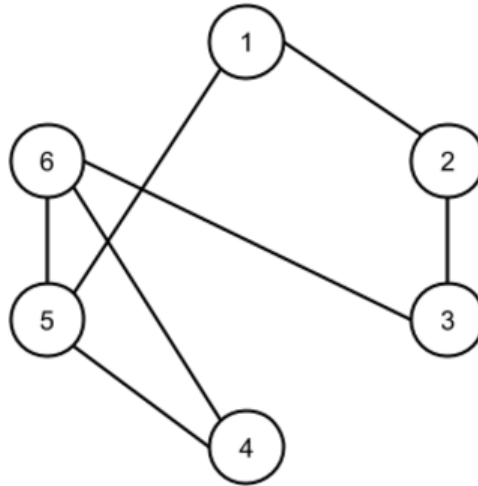
A versão descrita no início desta seção tenta recolorir todos os vértices que não estão nas classes de cores C_1, \dots, C_{LB} . Contudo, realizar esta operação nesses vértices causa sobrecarga. Em busca de preservar sua capacidade de poda, Segundo et al. (2013) tentaram algumas variantes em busca de um melhor compromisso. A estratégia que obteve em média o melhor desempenho, aplica a re-coloração nos vértices que podem ainda melhorar a poda globalmente, isto é, produzir uma classe de cor C_i vazia e, portanto, diminuir o $UB[v]$ de todos os vértices remanescentes não coloridos. Isto só pode ser conseguido quando S só possui um elemento (avalié o passo 8)

Considere o seguinte exemplo da Figura 5. Seja $(3, 4, 5, 6, 1, 2)$ a ordem inicial dos vértices e $LB = 2$. A coloração obtida dos vértices com $UB[v] \leq LB$ será:

1. $C_1 = \{3, 5\}$
2. $C_2 = \{4, 1\}$

Em seguida o vértice 6 será colorido e como $|S| \neq 1$, então $C_3 = \{6\}$, depois é a vez do vértice 2, como $|S| = 1$, então 2 será recolorido, de modo que $C_1 \cap \Gamma(2) = \{3\}$ e $C_2 \cap \Gamma(3) = \emptyset$, assim podemos colocar o vértice 2 em C_1 e o vértice 3 em C_2 , deste modo re-coloração é aplicada

Figura 5 – Grafo usado no Exemplo 3



Fonte: Elaborado pelos autores

com sucesso. A coloração final obtida é:

1. $C_1 = \{2, 5\}$
2. $C_2 = \{4, 1, 3\}$
3. $C_3 = \{6\}$

Na tabela seguinte, o valor $UB[v]$ para cada vértice v é mostrado:

Tabela 3 – Tabela com os valores $UB[v]$ para cada vértice v

v	3	4	5	6	1	2
$UB[v]$	2	2	1	3	2	1

Fonte: Produzido pelos autores

Observando os resultados de Segundo et al. (2013) pode-se notar que re-coloração é mais rápida em grafos de densidade alta. Na nossa proposta também tentamos colocar os vértices contidos em R em cada passo da coloração fracionário, isso poderá ser visto quando o algoritmo proposto for apresentado na seção 4.

4 ALGORITMOS DESENVOLVIDOS

4.1 Algoritmos BBMC, BBMCR e BBMCF

Implementamos as heurísticas gulosas de coloração inteira, fracionária e de re-coloração nos algoritmos BBMC, BBMCF e BBMCR respectivamente. Todos os algoritmos serão desenvolvidos utilizando a linguagem de programação C++.

Utilizamos a estrutura básica apresentada na seção 3.3 nos algoritmos BBMC, BBMCF e BBMCR, em que no passo 4 realizamos a partição de P usando sua heurísticas de coloração correspondente. Além disso, utilizamos a maior cor obtida pelas heurísticas e as cores dos vértices como *bounding*, da seguinte maneira:

$$\text{se } |P| + \text{máximo}\{UB[v] | v \in P\} \leq LB \text{ pare.}$$

Com estas modificações o algoritmo 4 fica da seguinte forma:

Algorithm 8 Algoritmo branch-and-bound para o PCM

```

1: function CLIQUE( $C, P, LB$ )
2:   if  $|C| > LB$  then
3:      $LB = |C|$ 
4:   Usando uma heurística de coloração fracionária particiona  $P = U \cup R$  tal que  $\omega(G[U]) \leq LB - \omega(C)$ .
5:   if  $|P| + \text{máximo}\{UB[v] | v \in P\} \leq LB$  then return
6:   Seja  $(v_1, \dots, v_n)$  uma ordem dos vértices de  $R$ 
7:   for  $i \leftarrow n$  até 1 do
8:     if  $|C| + UB[v] \leq LB$  then
9:       return
10:    CLIQUE( $C \cup \{v_i\}, P \cap \Gamma(v_i), LB$ )
11:     $P = P \setminus \{v_i\}$ 

```

Fonte: Elaborado pelos autores

4.2 Utilizar Estratégia Bit-Paralela

Segundo et al. (2007) provam que um modelo bit paralelo adequado pode causar uma redução exponencial em função do tamanho da palavra da CPU. Por este motivo, modelamos o problema da clique máximo em uma estratégia bit-paralela.

Usando estratégia bit-paralela, assumimos que o conjunto de vértices é $V = \{0, \dots, n - 1\}$, para um n de tamanho conhecido. Então podemos declarar um grafo G , usando as notações apresentadas na seção 3.2, da seguinte forma:

Algorithm 9 Declaração de um Grafo usando vetor de bits

```

1: #define MAX_VERTEX 4000
2: word bit[MAX_VERTEX][MAX_VERTEX/INT_SIZE + 1]
3: word V[MAX_VERTEX/INT_SIZE + 1]

```

Fonte: Elaborado pelo autor

O vetor de bits *bit* armazena a lista de adjacência e *V* armazena os vértices de G . Seja uma palavra de tamanho 8 e o grafo da Figura 3 a representação gráfica de *bit* e *V* pode ser encontrada na Figura 6. Como os índices dos vetores em programação começam de 0, então nós representamos o vértice 1 com a posição 0 e assim sucessivamente.

Figura 6 – Representação gráfica de

bit e *V*

		V							
		0	1	2	3	4	5	6	7
		1	1	1	1	1	1	0	0

		<i>bit</i>							
		0	1	2	3	4	5	6	7
0	0	1	0	0	1	0	0	0	0
1	1	0	1	0	0	0	0	0	0
2	0	1	0	1	0	1	0	0	0
3	0	0	1	0	1	1	0	0	0
4	1	0	0	1	0	1	0	0	0
5	0	0	1	1	1	0	0	0	0

Fonte: Elaborado pelo autor

Seja V_{nbr} o número de vértices em um grafo e $W = V_{nbr}/INT_SIZE + 1$, então as seguintes operações representam:

- COUNT(bit[v], W): O grau de v ;
- COUNT(V, W): O números de vértices em V ;
- index(i , j): O vértice que está na palavra i e no bit j ;
- $\sim U$: O complemento de U .

As operações setbit(U , v), resetbit(U , v) e test(U , v) representam a inserção, remoção e o teste existência, respectivamente, do vértice v em U . Para realizarmos a união, intercessão e subtração dos conjuntos N e M utilizamos os Algoritmos 10, 11 e 12.

Algorithm 10 UNIÃO

```

1: word  $U[W]$ 
2: for  $i = 0$  até  $W$  do
3:    $U[i] = N[i] | M[i]$ 

```

Fonte: Elaborado pelos autores

Algorithm 11 INTERSECÇÃO

```

1: word  $I[W]$ 
2: for  $i = 0$  até  $W$  do
3:    $I[i] = N[i] \& M[i]$ 

```

Fonte: Elaborado pelos autores

Algorithm 12 SUBTRAÇÃO

```

1: word  $S[W]$ 
2: for  $i = 0$  até  $W$  do
3:    $S[i] = N[i] \& \sim M[i]$ 

```

Fonte: Elaborado pelos autores

Agora com nossa estratégia bit-paralela definida, implementamos os algoritmos BBMC, BBMCF e BBMCR utilizando bit-parallelismo. Utilizamos todas as operações apresentadas nessa seção nas operações de união, intercessão, subtração de conjuntos, remoção, inserção, teste de existência presentes nos algoritmos de heurística de coloração inteira, fracionária e de recoloração, e no algoritmo CLIQUE.

4.3 Heurística de Coloração Fracionária

Desenvolvemos uma heurística de coloração, denominada de coloração fracionária modificada. A heurística de coloração fracionária modificada funciona da seguinte forma:

1. Determina cada classe de cor C_c com $c \leq LB$ utilizando heurística de coloração inteira.
2. Aplique a heurística de coloração fracionária nas classes de cores geradas no passo 1.
 - 2.1. No primeiro passo da coloração fracionária, onde os vértices são coloridos novamente, tente colorir os vértices com $UB[v] > LB$, ou seja, os vértices que não estão na coloração gerada pelo passo 1.
 - 2.2. Se conseguir, então existe $estavel_i \cap \Gamma(v) = \emptyset$, adicione v a $estavel_i$ e remova v do conjunto vértices com $UB[v] > LB$.

- 2.3. Senão, execute a HCF normalmente.
3. Se a coloração fracionária conseguiu reduzir o limite, seja t o limite encontrado, gere as classes de cores $C_{t+1}, C_{t+2}, \dots, C_n$ com a coloração inteira, onde n é o maior cor encontrado pela coloração inteira.
4. Senão, gera as classes de cores $C_{t+1}, C_{t+2}, \dots, C_n$ com a coloração inteira.
5. Salve a ordem dos vértices com $UB[v] > LB$.

O Algoritmo 13 apresenta o algoritmo de coloração fracionária modificada.

Inicialmente a heurística de coloração fracionária modificada constrói as classes de cores $\{estavel_1, \dots, estavel_{LB}\}$, em seguida é verificado se todos os vértices de V foram coloridos, se foram então encerra a coloração e retorna 0 (veja que se todos os vertices estão contidos em algum $estavel_i$, tal que $i \leq LB$, nenhum vértice será ramificado).

Agora, aplicamos a coloração fracionário, como a HCF foi explicada na seção 3.4.2 vamos nos focar apenas na nossa alteração. Seja v um vértice com $UB[v] > LB$ e o $estavel_i$ tal que $i \leq LB$, onde $estavel_i \cap \Gamma(v) = \{w\}$ e exista um $estavel_j \cap \Gamma(w) = \emptyset$, então quando a HCF for atribuir uma outra cor para w , este provavelmente seja colocado no $estavel_j$, neste momento note que esta etapa se comporta exatamente como a proposta da recolção apresentada na seção 3.4.3. Assim, antes de atribuímos mais um cor para os vértices em U tentamos primeiro recolorir os vértices com $UB[v] > LB$. Portanto, além de diminuir o tamanho do limite superior a heurística de coloração fracionária modificada também aumenta o número de vértices com $UB[v] \leq LB$.

Digamos que ao termino da HCF nosso limite tenha sido reduzido para $LB - 2$, então podemos criar mais dois estáveis $estavel_{LB-1}$ e $estavel_{LB}$. Deste modo, estamos aumentando novamente o número de vértice com $UB[v] \leq LB$. Esta operação é realizada quando aplicamos a HCI nos vértices que ainda não foram coloridos, onde armazenamos apenas os vértices com $UB[v] > LB$.

Algorithm 13 Procedimento da heurística de coloração fracionária modificada

```

1: function COLORAÇÃO_FRACIONÁRIA_MODIFICADA( $V, LB, O, UB$ )
2:    $S = V$ 
3:    $estavel = \emptyset$ 
4:   aplique a heurística de coloração inteira em  $S$  para gerar as classes de cores  $estavel_1, \dots, estavel_{LB}$ 
5:   if todos os vértices em  $S$  foram coloridos then
6:     return 0
7:    $k = 2, t = \infty, size = LB$ 
8:   if existir mais de um maximal then
9:     while TRUE do
10:       $U = V \setminus S$ 
11:      for all  $estavel_i$  não maximal do
12:         $T = \{v | estavel_i \cap \Gamma(v) = \emptyset, UB[v] > LB\}$ 
13:        while  $T \neq \emptyset$  do
14:           $v =$  selecione um vértice em  $T$ 
15:           $estavel_i = estavel_i \cup \{v\}$ 
16:           $S = S \setminus \{v\}$ 
17:           $T = T \setminus \{v\}$ 
18:           $T = T \cap \bar{\Gamma}(v)$ 
19:          while houver candidatos no  $estavel_i$  do
20:             $v =$  seleciona um vértice que pode entrar no  $estavel_i$ 
21:             $estavel_i = estavel_i \cup \{v\}$ 
22:             $U = U \setminus \{v\}$ 
23:          aplique a HCI em  $G[U]$ , seja  $C_k$  a coloração entrada
24:           $novo\_t = (size + |C_k|)/k$ 
25:          if  $t - novo\_t > 0.1$  then
26:             $t = novo\_t$ 
27:             $size = size + |C_k|$ 
28:             $k = k + 1$ 
29:          else
30:            pare
31:           $t = \minimo\{t, LB\}$ 
32:    Aplique a coloração inteira em  $S$  começando da cor  $t + 1$  e armazene em  $O$  a ordem dos vértices
    com  $UB[v] > LB$ .

```

Fonte: Elaborado pelo Autor

No pior caso a heurística de coloração fracionária modificada se comporta como a coloração inteira, isto ocorre quando a coloração fracionária não faz nenhum melhora e não consegue recolorir nenhum vértice. Por questões de eficiência armazenamos quais são os vértices não maximais e os seus candidatos quando estamos gerando as classes de cores, assim evitamos percorrer todos os estáveis e os vértices quando estamos em busca de não maximais e de candidatos. Note também que só realizamos a coloração fracionária se tivermos mais de um não maximal.

5 RESULTADOS COMPUTACIONAIS

Nesta seção são apresentados os resultados da execução dos algoritmos BBMC, BBMCF, BBMCR, BBMCFM e BBMCFM2. Os resultados são apresentados na Tabela 5 e Tabela 4 para os grafos DIMACS e aleatórios.

Os algoritmos foram executados em um computador com o processador Intel(R) Core(TM) i7-3770 CPU @ 3.40GHz, 6GB de memória RAM e Linux 64 bit com tempo limite de execução de uma hora. O desempenho dos algoritmos são avaliados pelos seus tempos de execução e os números de subproblemas. Utilizadas instâncias de grafos aleatórios e grafos do benchmark DIMACS¹.

Implementamos dois algoritmo utilizando a heurística de coloração fracionária modificada, o BBMCFM e BBMCFM2. O BBMCFM utiliza a coloração fracionária modificada exatamente como apresentada na seção 4.3. Já o BBMCFM2 restringe a coloração fracionária em duas iterações, em uma tentativa de diminuir a sobrecarga de operações.

Para cada tabela comparamos o número de subproblemas gerados e o tempo de computação para se resolver as instâncias de tamanhos ($|V|$), densidades e tamanho de cliques diferentes (ω). O ω se refere a maior clique encontrada entre os algoritmo e o LB é o limite inferior encontrado.

¹ Centro de Matemática Discreta e Ciência da Computação Teórica

Tabela 4 – Resultados em grafos aleatórios

Nome	Grafo				Número de Subproblemas						CPU (segundos)				
	IV	Densidade	ω	LB	BBMC	BBMCF	BBMCR	BBMCFM	BBMCFM2	BBMC	BBMCF	BBMCR	BBMCFM	BBMCFM2	
200-0.90-1	200	0.90	41	35	20875498	8786824	20329914	5686633	6605049	20.80	62.3460	30.4482	31.1645	25.2560	
200-0.95-1	200	0.95	60	57	22092722	5607578	21452914	3529481	4486337	28.9958	63.0708	44.4350	32.0433	24.87	
200-0.95-2	200	0.95	62	59	5126413	1601306	5055392	1021741	1274419	6.88	18.3092	10.9305	9.1612	7.2349	
200-0.95-3	200	0.95	64	62	5426102	1433181	5255205	901404	1139326	7.5167	17.2897	11.6878	9.1017	6.79	
200-0.95-4	200	0.95	61	56	14638968	4177741	14284449	2983659	3732892	19.48	47.0687	29.9967	27.2926	20.8862	
200-0.95-5	200	0.95	59	54	21195682	6219942	20596099	3863680	4819673	27.5088	65.3643	41.7204	33.8176	26.34	
200-0.95-6	200	0.95	63	57	10862601	3649774	10689083	2304815	2786517	14.52	40.1136	22.4940	20.3121	15.1690	
200-0.95-7	200	0.95	61	54	17668850	4712694	17216081	2749906	3565455	23.9556	52.5337	35.9307	26.2097	20.46	
200-0.95-8	200	0.95	63	56	10894876	3395100	10623123	2159313	2630743	14.15	35.1387	21.8917	18.5062	14.3803	
200-0.95-9	200	0.95	61	54	8843300	2590150	8679730	1584979	1974948	11.8414	29.2449	18.2508	14.1030	11.09	
200-0.95-10	200	0.95	63	62	3740829	1164541	3669182	729848	893086	5.1854	13.9030	8.0241	6.7408	5.14	
200-0.98-1	200	0.98	92	88	111584	15865	107123	8426	10681	0.1999	0.3192	0.3424	0.1101	0.10	
200-0.98-2	200	0.98	95	91	2055	789	2055	787	907	0.01	0.0099	0.0117	0.0092	0.0076	
200-0.98-3	200	0.98	96	91	35116	4000	34364	1626	2848	0.0720	0.0724	0.1161	0.02	0.0260	
200-0.98-4	200	0.98	96	88	32538	4658	32462	1911	2799	0.0592	0.0706	0.1035	0.02	0.0281	
200-0.98-5	200	0.98	93	87	22624	4693	22602	1913	2349	0.0432	0.0721	0.0740	0.0230	0.02	
200-0.98-6	200	0.98	93	88	79876	8136	79828	4225	6636	0.1576	0.1394	0.2698	0.0669	0.06	
200-0.98-7	200	0.98	94	86	35662	5129	35122	2690	3868	0.0680	0.0885	0.1160	0.0391	0.04	
200-0.98-8	200	0.98	98	92	25036	3156	21638	1667	1921	0.0475	0.0487	0.0773	0.0275	0.02	
200-0.98-9	200	0.98	92	88	18123	2781	18123	2867	5159	0.04	0.0478	0.0621	0.0427	0.0475	
200-0.98-10	200	0.98	96	90	4594	1571	4594	926	1086	0.01	0.0172	0.0160	0.0160	0.0092	
200-0.99-1	200	0.99	118	117	179	135	179	130	131	0.00	0.0014	0.0011	0.0014	0.0022	
200-0.99-2	200	0.99	122	120	276	255	276	123	123	0.00	0.0022	0.0019	0.0016	0.0011	
200-0.99-3	200	0.99	123	121	212	210	212	130	130	0.00	0.0011	0.0011	0.0012	0.0011	
200-0.99-4	200	0.99	121	119	231	230	231	225	225	0.00	0.0012	0.0016	0.0018	0.0022	
200-0.99-5	200	0.99	119	114	547	538	547	234	235	0.00	0.0030	0.0019	0.0017	0.0021	
200-0.99-6	200	0.99	121	119	250	248	250	246	246	0.0017	0.0018	0.00	0.0021	0.0027	
200-0.99-7	200	0.99	122	120	129	125	129	123	123	0.00	0.0010	0.0011	0.0012	0.0015	
200-0.99-8	200	0.99	123	123	42	8	42	16	18	0.00	0.0006	0.0013	0.0005	0.0006	
200-0.99-9	200	0.99	117	114	455	375	455	118	118	0.0015	0.0035	0.0030	0.0013	0.00	
200-0.99-10	200	0.99	121	118	254	247	254	123	123	0.0014	0.0018	0.0017	0.0015	0.00	
300-0.90-1	300	0.90	47	40	2870243376	376342967	1986851867	464773309	685653969	timeout	timeout	timeout	timeout	timeout	
300-0.98-1	300	0.98	117	107	1232080850	100584484	751749999	35562883	70884219	timeout	timeout	timeout	1095.3330	1088.20	
300-0.98-2	300	0.98	120	115	295155714	17775777	285936376	7998244	14555035	930.8152	660.7726	1486.7941	245.62	260.2586	
300-0.98-3	300	0.98	123	119	349573838	17204530	336176470	9278944	18070124	1097.4183	686.9012	1768.2509	300.7601	298.44	
300-0.98-4	300	0.98	120	111	167390763	7596225	167321005	3753955	8201217	525.0944	299.4765	872.6504	123.71	131.5659	
300-0.98-5	300	0.98	121	111	82652778	4675542	82429491	2556522	4698228	260.3051	184.9258	430.4211	80.0434	75.63	
300-0.98-6	300	0.98	121	110	238962616	15289182	235451945	7796403	15210643	731.2073	568.1903	1196.9488	239.60	266.3419	
300-0.98-7	300	0.98	119	114	516806770	47684877	516624440	22593327	40898241	1595.5964	1601.6188	2674.4259	667.5783	636.18	
300-0.98-8	300	0.98	122	112	170967309	7242315	167114228	4119119	8210182	536.7680	278.1587	884.9007	127.36	133.8384	
300-0.98-9	300	0.98	117	106	1213819607	96990987	724026303	36724927	71362902	timeout	3318.2697	timeout	1086.54	1094.1579	
300-0.98-10	300	0.98	120	116	651657031	42386810	635434702	20495943	43713654	2028.4177	1633.5583	3296.5233	670.26	694.3447	
300-0.99-1	300	0.99	157	150	2350262	461369	2350262	45300	79665	9.1344	14.9620	15.9744	1.43	1.6475	
300-0.99-2	300	0.99	160	156	25018	1911	25018	970	1215	0.1056	0.0556	0.1850	0.02	0.0246	
300-0.99-3	300	0.99	161	157	5739	2199	5739	981	1062	0.0244	0.0598	0.0420	0.0214	0.02	
300-0.99-4	300	0.99	159	153	19322	3983	19322	1525	1950	0.0803	0.1052	0.1366	0.03	0.0333	
300-0.99-5	300	0.99	162	157	2099	938	2099	680	723	0.01	0.0153	0.0168	0.0098	0.0123	
300-0.99-6	300	0.99	154	144	1166565	51175	1166565	15340	45180	4.4298	1.9449	8.0279	0.53	0.9157	
300-0.99-7	300	0.99	161	159	17786	1410	17786	587	984	0.0785	0.0464	0.1358	0.02	0.0240	
300-0.99-8	300	0.99	162	155	3798	1391	3798	1018	1140	0.02	0.0353	0.0292	0.0174	0.0177	
300-0.99-9	300	0.99	159	155	8974	1149	8960	750	778	0.0377	0.0309	0.0670	0.0151	0.01	
300-0.99-10	300	0.99	163	157	52885	3322	52885	779	1717	0.2219	0.1285	0.3778	0.02	0.0375	

instâncias da família *brock*, instâncias de densidade média, o BBMC resolveu mais rápido quase todas as instâncias, exceto *brock200_2* e *brock200_3* em que o BBMCR foi melhor.

Nas instâncias da família *C* de densidade alta, os resultados foram mais diversos, o BBMC foi mais eficiente nas duas primeiras instâncias e todos os outros algoritmos estouraram o tempo limite. Porém, na instância *C500.9* o algoritmo BBMCFM encontra uma clique de tamanho 53 antes do tempo limite acabar, onde a segunda melhor solução encontrada foi pelo BBMC de 51.

Na família *c-fat*, densidade baixa, os algoritmos BBMCFM e BBCFM2 obtiveram melhor desempenho em quase todas as instâncias, exceto nos casos *c-fat500-1* e *c-fat500-10* que foram resolvidas com melhor desempenho pelo BBMC e BBMCR respectivamente.

Na família *gen* podemos notar resultados interessantes, as duas primeiras instâncias o BBMC se destaca, mas quando o número de vértices e o tamanho da clique aumenta os algoritmos BBMCFM e BBMCFM2 o superam. O caso mais impressionante é na instância *gen400_p0.9-75*, onde apenas os algoritmos propostos conseguiram dentro do tempo limite e a terceira melhor solução ainda estava em subproblema de clique máxima de tamanho 66.

As instâncias da família *hamming* possuem densidades variadas, tendo o BBMC e o BBMCR como os algoritmos com melhor desempenho nessas instâncias.

Para a família *johnson* os algoritmos propostos e o BBMC apresentam um melhor desempenho. Na instância *keller4* o BBMCFM2 se destaca. E nas restantes instâncias, com exceção das instâncias *san400_0.7_1*, *san400_0.7_3* e *san1000* que o BBMCFM2 foi melhor, o BBMC possui o melhor desempenho.

Os grafos do benchmark do DIMACS são bem estruturados e complexos ficando difícil chegar a uma conclusão observando o desempenho dos algoritmos BBMCFM e BBMCFM2, contudo, podemos notar que seus números de subproblemas gerados em quase todas as instâncias foram menores, exceto em alguns casos que BBMCF se saiu melhor, chegando a uma diminuição na árvore de busca em um fator de 3 na instância *brock800_4* em relação ao BBMCF. Por isso, podemos concluir que a heurística de coloração fracionária modificada deve se comportar melhor em grafos de alta densidade por causa da sua capacidade de reduzir o número de subproblemas (podemos verificar isso nos resultados das instâncias *gen400_p0.9-75* e *C500.9* já discutidos acima). Por este motivo realizamos testes entre os algoritmos com grafos aleatórios de alta densidade.

Na Tabela 4 podemos verificar que a heurística de coloração fracionária modificada

foi melhor em 64% das instâncias testadas, comprovando que a coloração fracionária modificada realmente possui um bom desempenho em grafos com densidade alta.

6 CONCLUSÕES E TRABALHOS FUTUROS

Nesta monografia aprendemos sobre os algoritmos para o problema da clique máxima, seus limites e estratégia de ramificação, além do uso de vetores de bits. Tivemos como objetivo apresentar um algoritmo branch-and-bound e propor uma nova heurística de coloração gulosa, a fracionária modificada, em que aumentasse o número de vértices não ramificados nos subproblemas.

Os experimentos realizados mostram que a heurística de coloração fracionária modificada apresenta um bom desempenho para grafos de alta densidade, comparado aos outros algoritmos estudados. Notamos também que a coloração fracionária modificada atinge seu objetivo de reduzir o número de subproblemas gerados, onde o mesmo superou os outros algoritmos em quase todas as instâncias. Podemos notar também, que nosso algoritmo foi capaz de resolver instâncias, tanto nos casos aleatórios como nos grafos do benchmark do DIMACS, que os outros não conseguiram dentro tempo limite.

Além da óbvia importância de aplicações práticas de algoritmos NP-difíceis rápidos, nosso trabalho também é interessante do ponto de vista teórico, pois usa a heurística coloração fracionária como estratégia de ramificação, uma vez que estamos cientes que outros trabalhos não apresentam tal estratégia.

Como trabalhos futuros pretendemos realizar mais testes entre os algoritmos com grafos de diferentes tamanhos e densidades, além de aumentar o tempo limite de execução, para melhores conclusões sobre o comportamento da heurística de coloração fracionária modificada.

REFERÊNCIAS

- BALAS, E.; XUE, J. Weighted and unweighted maximum clique algorithms with upper bounds from fractional coloring. **Algorithmica**, Springer, v. 15, n. 5, p. 397–412, 1996.
- BALAS, E.; YU, C. S. Finding a maximum clique in an arbitrary graph. **SIAM Journal on Computing**, SIAM, v. 15, n. 4, p. 1054–1068, 1986.
- BALASUNDARAM, B.; BUTENKO, S. Graph domination, coloring and cliques in telecommunications. In: **Handbook of Optimization in Telecommunications**. [S.l.]: Springer, 2006. p. 865–890.
- BALASUNDARAM, B.; BUTENKO, S.; HICKS, I. V. Clique relaxations in social network analysis: The maximum k-plex problem. **Operations Research**, INFORMS, v. 59, n. 1, p. 133–142, 2011.
- BOGINSKI, V.; BUTENKO, S.; PARDALOS, P. M. Mining market data: a network approach. **Computers & Operations Research**, Elsevier, v. 33, n. 11, p. 3171–3184, 2006.
- BOMZE, I. M.; BUDINICH, M.; PARDALOS, P. M.; PELILLO, M. The maximum clique problem. In: **Handbook of combinatorial optimization**. [S.l.]: Springer, 1999. p. 1–74.
- BOURJOLLY P. GILL, G. L. J.-M.; MERCURE, H. An exact quadratic 0-1 algorithm for the stable set problem. In: **Cliques, coloring, and satisfiability**. [S.l.]: American Mathematical Soc., 1996. p. 53–73.
- BROTCORNE, L.; LAPORTE, G.; SEMET, F. Fast heuristics for large scale covering-location problems. **Computers & Operations Research**, Elsevier, v. 29, n. 6, p. 651–665, 2002.
- CARTER, M. W.; LAPORTE, G.; LEE, S. Y. Examination timetabling: Algorithmic strategies and applications. **Journal of the Operational Research Society**, JSTOR, p. 373–383, 1996.
- CHEN, F.; ZHAI, H.; FANG, Y. Available bandwidth in multirate and multihop wireless ad hoc networks. **Selected Areas in Communications, IEEE Journal on**, IEEE, v. 28, n. 3, p. 299–307, 2010.
- DORNDORF, U.; JAEHN, F.; PESCH, E. Modelling robust flight-gate scheduling as a clique partitioning problem. **Transportation Science**, INFORMS, v. 42, n. 3, p. 292–301, 2008.
- ETZION, T.; OSTERGARD, P. R. Greedy and heuristic algorithms for codes and colorings. **Information Theory, IEEE Transactions on**, IEEE, v. 44, n. 1, p. 382–388, 1998.
- GARY, M. R.; JOHNSON, D. S. **Computers and Intractability: A Guide to the Theory of NP-completeness**. [S.l.]: WH Freeman and Company, New York, 1979.
- HÅSTAD, J. Clique is hard to approximate within $n^{1-\epsilon}$. In: **IEEE. Foundations of Computer Science, 1996. Proceedings., 37th Annual Symposium on**. [S.l.], 1996. p. 627–636.
- JAIN, K.; PADHYE, J.; PADMANABHAN, V. N.; QIU, L. Impact of interference on multi-hop wireless network performance. **Wireless networks**, Springer, v. 11, n. 4, p. 471–487, 2005.
- KARP, R. M. Reducibility among combinatorial problems. In: **Complexity of computer computations**. [S.l.]: Springer, 1972. p. 85–103.

MALOD-DOGNIN, N.; ANDONOV, R.; YANEV, N. Maximum cliques in protein structure comparison. In: **Experimental Algorithms**. [S.l.]: Springer, 2010. p. 106–117.

MITTEN, L. Branch-and-bound methods: General formulation and properties. **Operations Research**, INFORMS, v. 18, n. 1, p. 24–34, 1970.

PATTILLO, J.; YOUSSEF, N.; BUTENKO, S. Clique relaxation models in social network analysis. In: **Handbook of Optimization in Complex Networks**. [S.l.]: Springer, 2012. p. 143–162.

RAVETTI, M. G.; MOSCATO, P. Identification of a 5-protein biomarker molecular signature for predicting alzheimer's disease. **PLoS One**, Public Library of Science, v. 3, n. 9, p. e3111, 2008.

SEGUNDO, P. S.; MATIA, F.; RODRIGUEZ-LOSADA, D.; HERNANDO, M. An improved bit parallel exact maximum clique algorithm. **Optimization Letters**, Springer, v. 7, n. 3, p. 467–479, 2013.

SEGUNDO, P. S.; RODRIGUEZ-LOSADA, D.; GALAN, R.; MATIA, F.; JIMENEZ, A. Exploiting cpu bit parallel operations to improve efficiency in search. In: IEEE. **Tools with Artificial Intelligence, 2007. ICTAI 2007. 19th IEEE International Conference on**. [S.l.], 2007. v. 1, p. 53–59.

SEGUNDO, P. S.; RODRÍGUEZ-LOSADA, D.; JIMÉNEZ, A. An exact bit-parallel algorithm for the maximum clique problem. **Computers & Operations Research**, Elsevier, v. 38, n. 2, p. 571–581, 2011.

SEGUNDO, P. S.; RODRÍGUEZ-LOSADA, D.; MATÍA, F.; GALÁN, R. Fast exact feature based data correspondence search with an efficient bit-parallel mcp solver. **Applied Intelligence**, Springer, v. 32, n. 3, p. 311–329, 2010.

TOMITA, E.; SEKI, T. An efficient branch-and-bound algorithm for finding a maximum clique. In: **Discrete mathematics and theoretical computer science**. [S.l.]: Springer, 2003. p. 278–289.

TOMITA, E.; SUTANI, Y.; HIGASHI, T.; TAKAHASHI, S.; WAKATSUKI, M. A simple and faster branch-and-bound algorithm for finding a maximum clique. In: **WALCOM: Algorithms and computation**. [S.l.]: Springer, 2010. p. 191–203.

WEIDE, O.; RYAN, D.; EHRGOTT, M. An iterative approach to robust and integrated aircraft routing and crew scheduling. **Computers & Operations Research**, Elsevier, v. 37, n. 5, p. 833–844, 2010.

WU, Q.; HAO, J.-K. A review on algorithms for maximum clique problems. **European Journal of Operational Research**, Elsevier, v. 242, n. 3, p. 693–709, 2015.